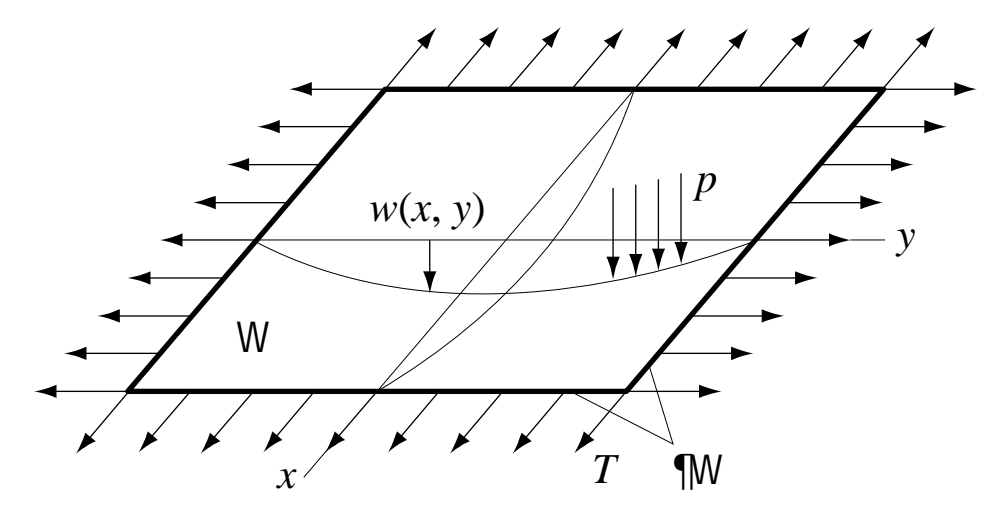
# Méthode des éléments finis Formulation intégrale des problèmes aux limites bidimensionnels

Prof. F. Gallaire

### Exemples de problèmes 2D à variable scalaire

• Déformée transversale d'une membrane tendue



 $w = 0 \quad \text{sur } \partial \Omega$ 

T tension uniforme

p charge répartie

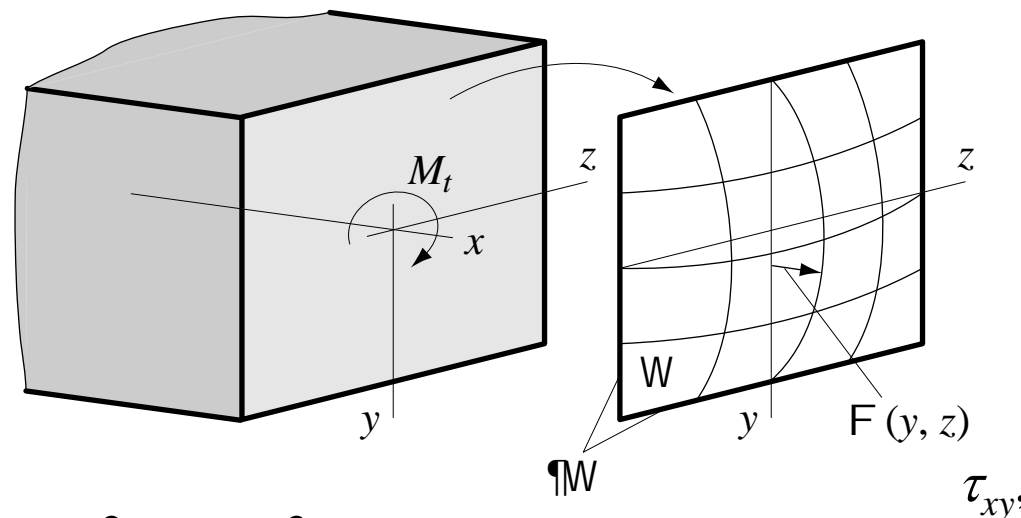
w déformée

$$T\left(\frac{\partial^2 w}{\partial x^2} + \frac{\partial^2 w}{\partial y^2}\right) + p = 0 \quad \text{dans } \Omega$$
 équation de Poisson

-2-

### Exemples de problèmes 2D à variable scalaire

Torsion d'un barreau non circulaire (analogie de la membrane)



 $\frac{\partial^2 \Phi}{\partial y^2} + \frac{\partial^2 \Phi}{\partial z^2} = -2G\theta \quad \text{dans } \Omega$ équation de Poisson

$$\Phi = 0 \quad \text{sur } \partial \Omega$$

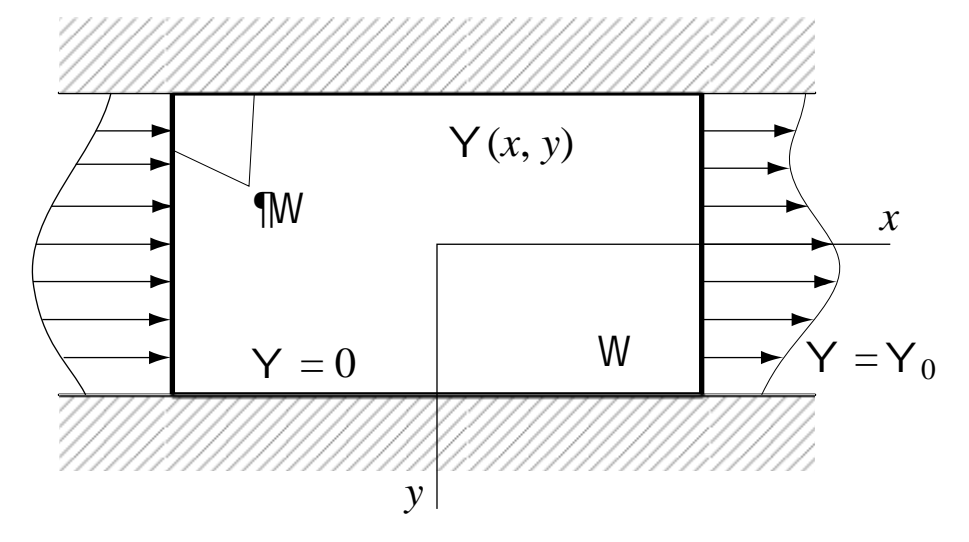
- $M_t$  moment de torsion
- $\Phi$  fonction de contrainte
- G module de glissement
- $\theta$  angle de torsion unitaire

 $\tau_{xy}$ ,  $\tau_{xz}$  contraintes de cisaillement

$$\tau_{xy} = \partial \Phi / \partial z$$
  
$$\tau_{xz} = -\partial \Phi / \partial y$$

### Exemples de problèmes 2D à variable scalaire

• Écoulement irrotationnel plan incompressible



 $\Psi$  fonction de courant

 $\Psi_0$  fonction de courant imposée

 $v_x$ ,  $v_y$  vitesses de l'écoulement

$$\begin{aligned}
 v_x &= \frac{\partial \Psi}{\partial y} \\
 v_y &= -\frac{\partial \Psi}{\partial x}
 \end{aligned}$$

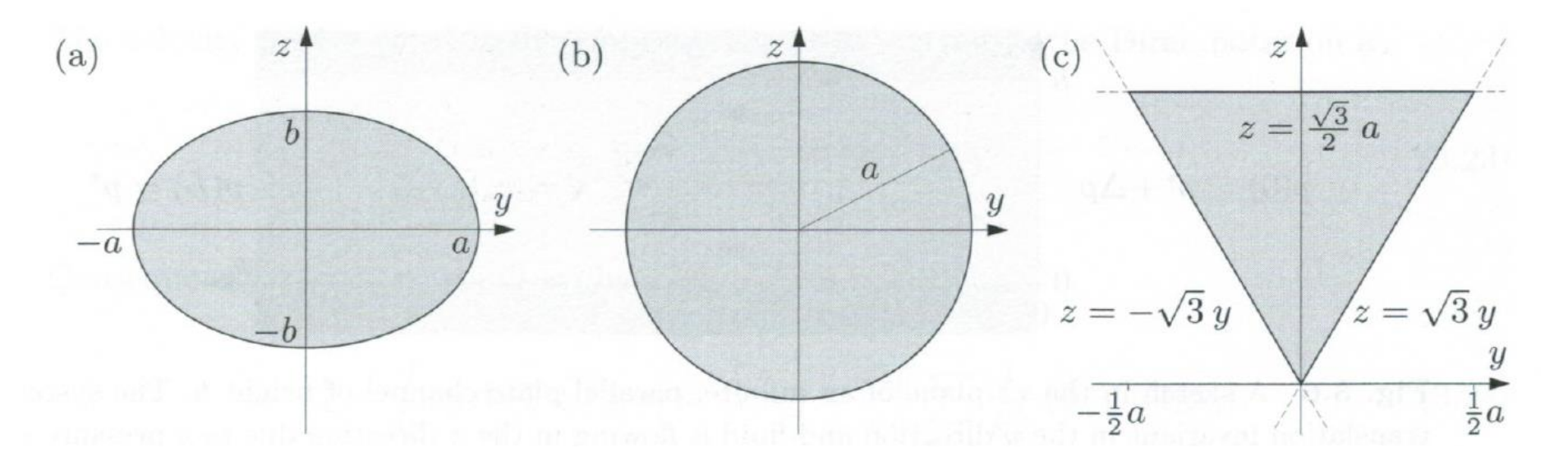
$$\frac{\partial^2 \Psi}{\partial x^2} + \frac{\partial^2 \Psi}{\partial y^2} = 0 \quad \text{dans } \Omega$$

$$\underline{\varphi} = \Psi_0 \quad \text{sur } \partial \Omega$$

$$\underline{\varphi} = \Psi_0 \quad \text{on } \partial \Omega$$

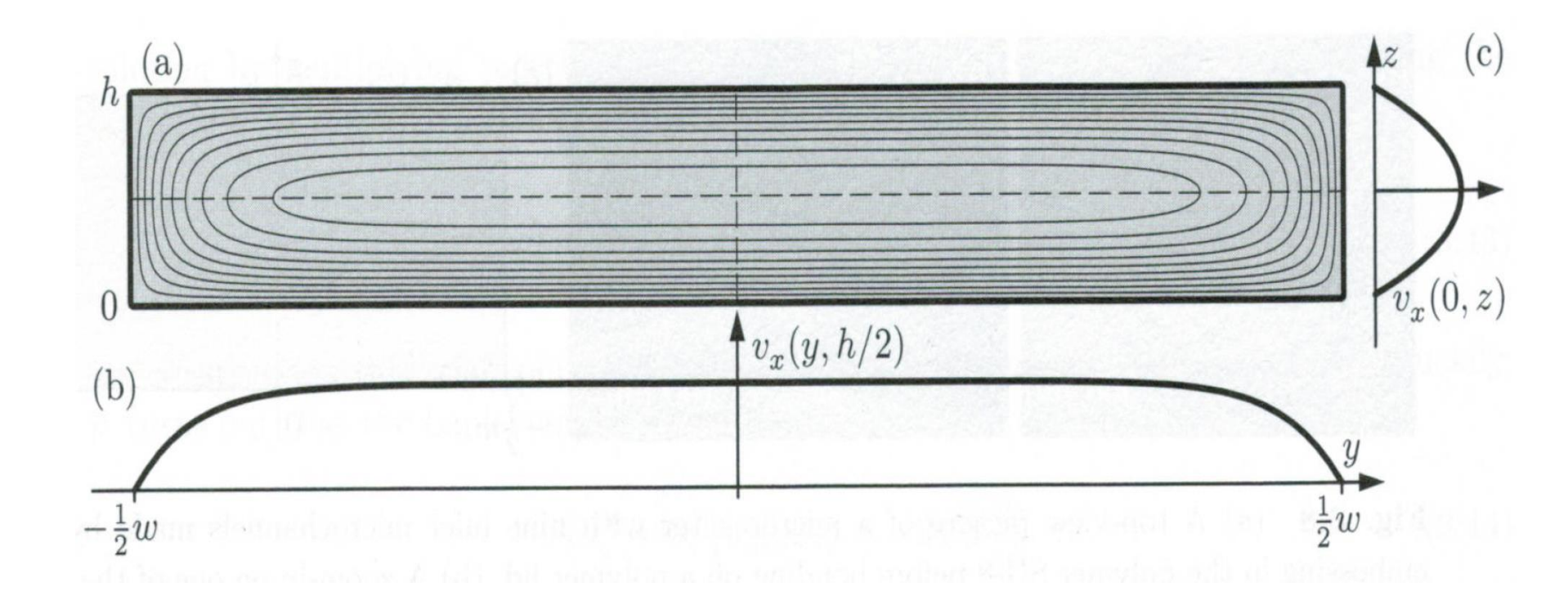
#### Solutions des equations de Navier-Stokes

# Dans les écoulements strictement parallèles, le terme non-linéaire u.grad(u)=0





#### Ecoulement dans une conduit rectangulaire



$$v_x(y,z) = \frac{4h^2 \Delta p}{\pi^3 \eta L} \sum_{n,\text{odd}}^{\infty} \frac{1}{n^3} \left[ 1 - \frac{\cosh\left(n\pi \frac{y}{h}\right)}{\cosh\left(n\pi \frac{w}{2h}\right)} \right] \sin\left(n\pi \frac{z}{h}\right).$$

#### Ecoulement dans une conduite rectangulaire

$$\begin{split} Q &= 2 \int_0^{\frac{1}{2}w} \mathrm{d}y \, \int_0^h \mathrm{d}z \, v_x(y,z) \\ &= \frac{4h^2 \Delta p}{\pi^3 \eta L} \, \sum_{n,\mathrm{odd}}^\infty \frac{1}{n^3} \, \frac{2h}{n\pi} \left[ w - \frac{2h}{n\pi} \tanh \left( n\pi \frac{w}{2h} \right) \right] \\ &= \frac{8h^3 w \Delta p}{\pi^4 \eta L} \, \sum_{n,\mathrm{odd}}^\infty \left[ \frac{1}{n^4} - \frac{2h}{\pi w} \, \frac{1}{n^5} \tanh \left( n\pi \frac{w}{2h} \right) \right] \\ &= \frac{h^3 w \Delta p}{12\eta L} \, \left[ 1 - \sum_{n,\mathrm{odd}}^\infty \frac{1}{n^5} \, \frac{192}{\pi^5} \, \frac{h}{w} \, \tanh \left( n\pi \frac{w}{2h} \right) \right], \end{split}$$

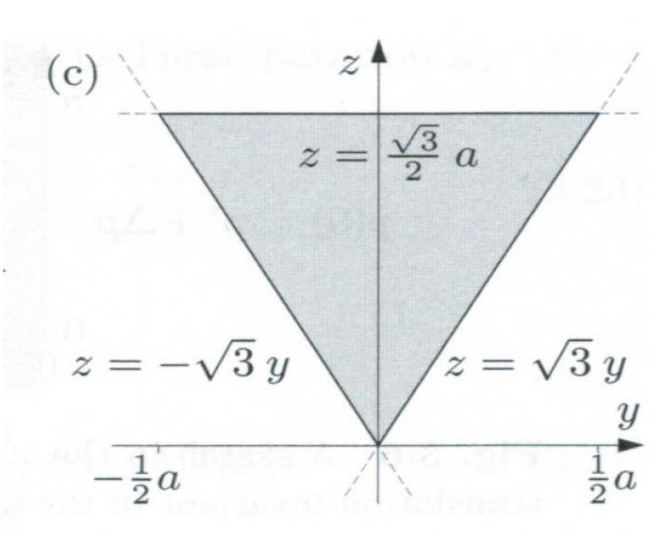
$$\sum_{n=0}^{\infty} \frac{1}{n^4} = \frac{\pi^4}{96}$$

#### Ecoulement dans une conduite rectangulaire

$$\approx \frac{h^3 w \Delta p}{12\eta L} \left[ 1 - 0.630 \, \frac{h}{w} \right], \text{ for } h < w.$$

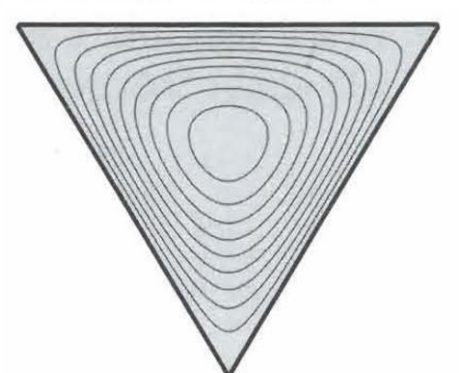
13% pour une section carrée, 0.2% pour un rapport d'allongement de 2

#### Ecoulement dans un conduit de section triangulaire

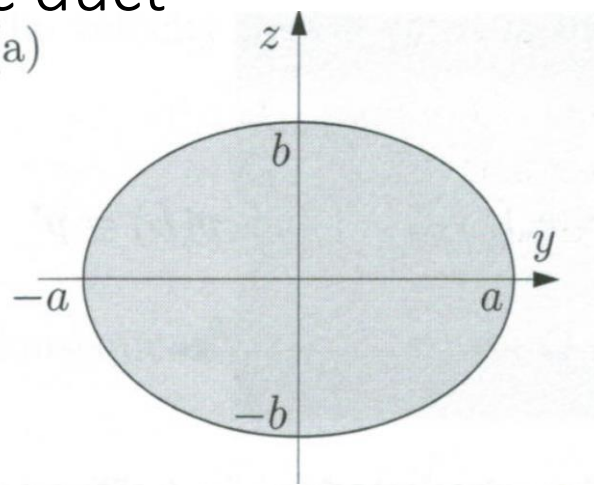


$$v_{x}(y,z) = \frac{v_{0}}{a^{3}} \left(\frac{\sqrt{3}}{2}a - z\right) \left(z - \sqrt{3}y\right) \left(z + \sqrt{3}y\right) = \frac{v_{0}}{a^{3}} \left(\frac{\sqrt{3}}{2}a - z\right) \left(z^{2} - 3y^{2}\right).$$

$$v_{0} = \frac{1}{2\sqrt{3}} \frac{\Delta p}{\eta L} a^{2}$$



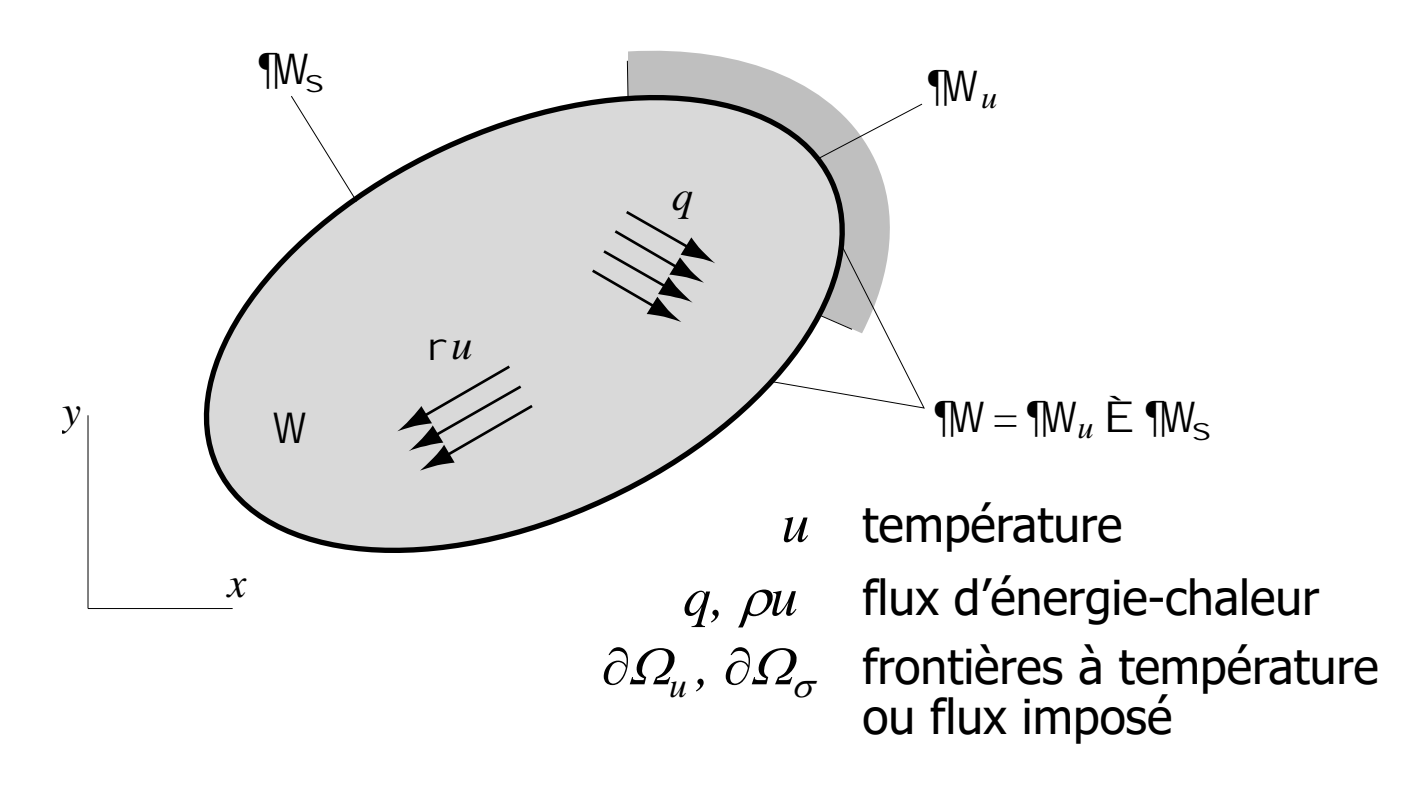
Flow in an elliptic duct



$$v_x(y,z) = v_0 \left( 1 - \frac{y^2}{a^2} - \frac{z^2}{b^2} \right)$$
$$v_0 = \frac{\Delta p}{2\eta L} \frac{a^2 b^2}{a^2 + b^2}$$



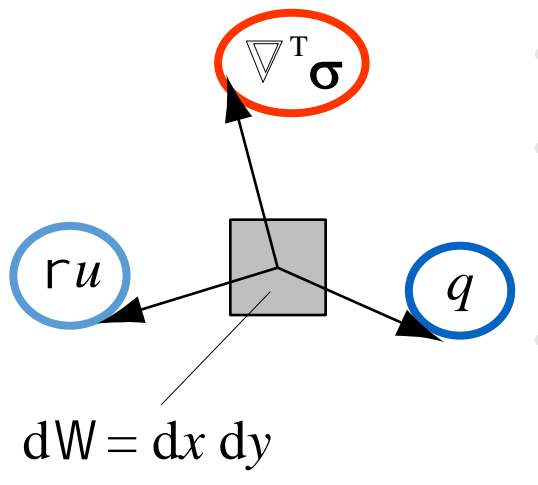
## Problème modèle du transfert-chaleur par conduction



Milieu bidimensionnel soumis à un transfertchaleur par conduction (régime permanent)

-11-

 Principe de conservation (bilan des flux d'énergie-chaleur dans un volume de contrôle dΩ)



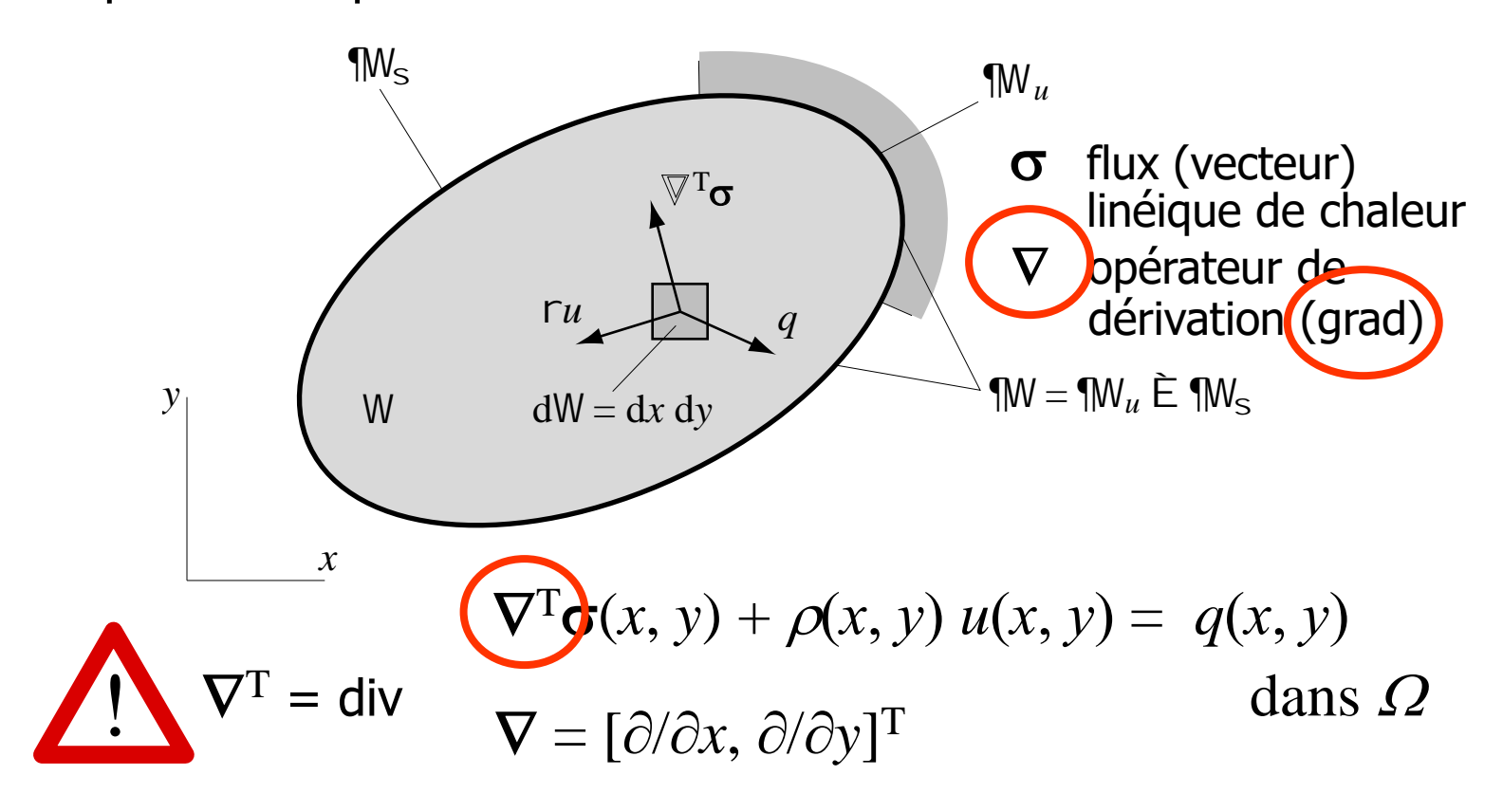
- Flux interne d'énergie-chaleur pénétrant
- Flux interne d'énergie-chaleur absorbé (dégagé) par un puits (source) surfacique de chaleur proportionnel à la température
- Flux interne d'énergie-chaleur dégagé (absorbé) par une source (puits) surfacique de chaleur indépendante de la température



Signe des flux internes d'énergie-chaleur

-12-

Équation d'équilibre



-13-

Loi de comportement (loi de Fourier)

$$\sigma(x, y) = -\kappa(x, y) \nabla u(x, y)$$

 $\kappa$  coefficient de conductibilité thermique  $\nabla u$  gradient du champ de température



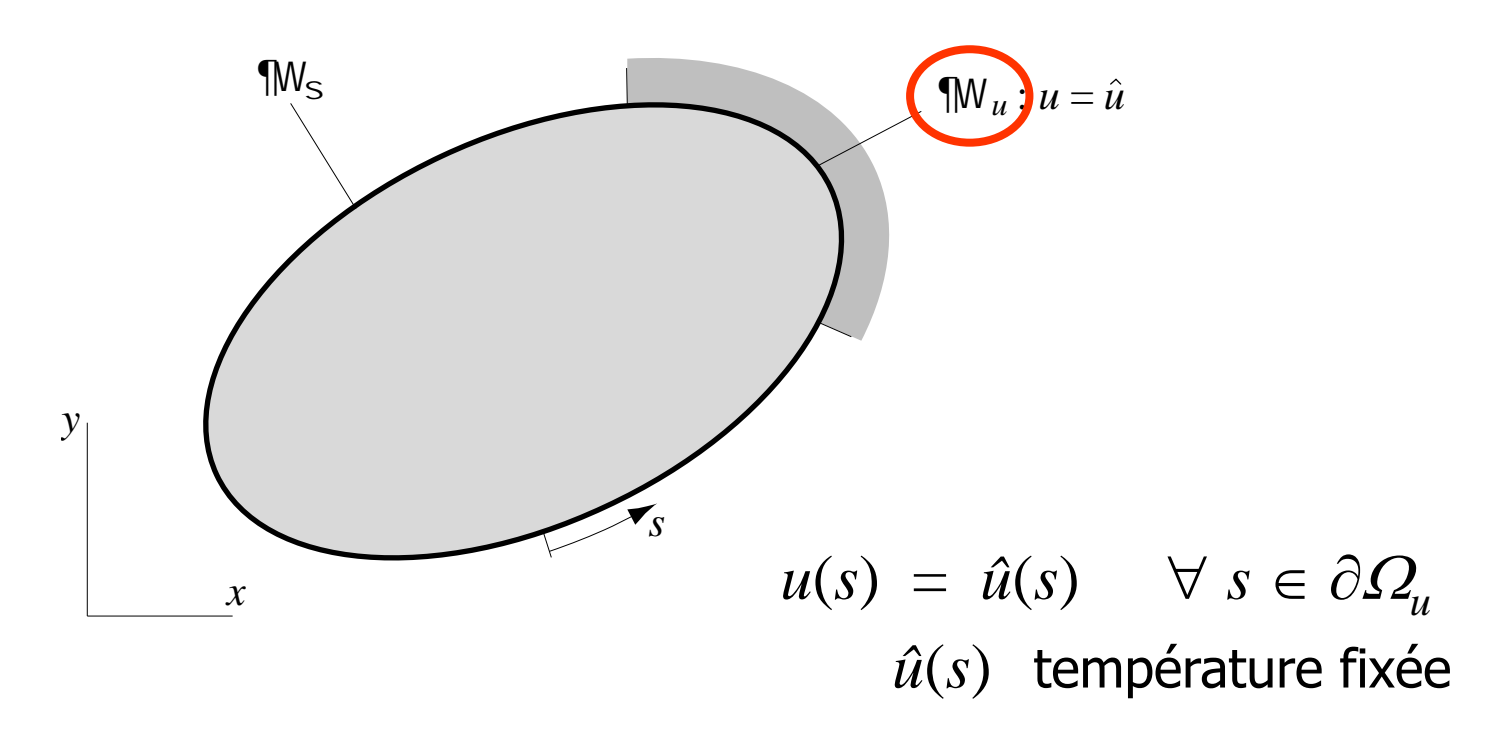
Linéarité du gradient de température

• Séparation de la frontière en limites essentielle et naturelle

$$\partial \Omega = \partial \Omega_u \cup \partial \Omega_\sigma$$

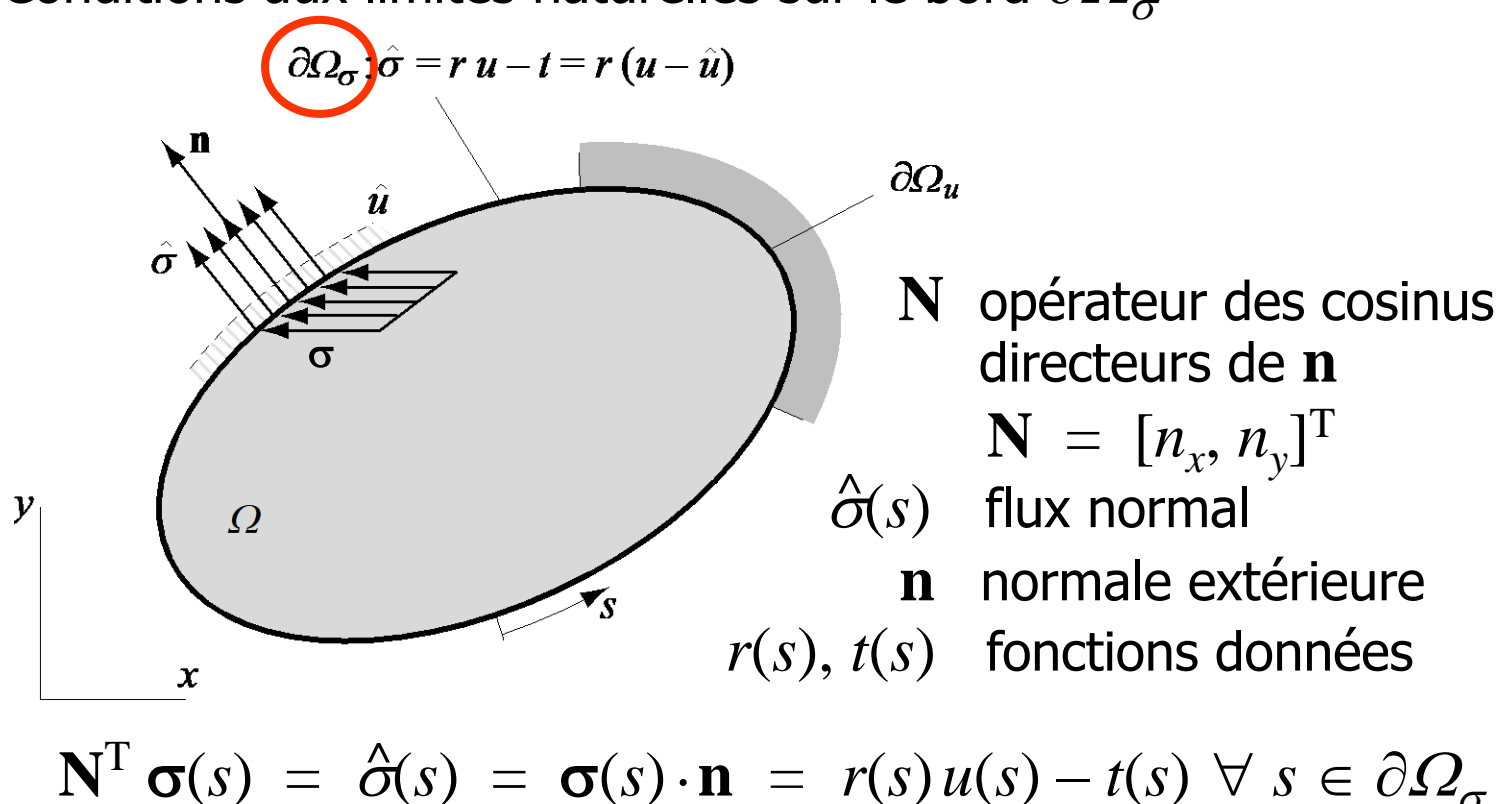
$$\varnothing = \partial \Omega_u \cap \partial \Omega_\sigma$$

• Conditions aux limites essentielles sur le bord  $\partial \Omega_{\!\scriptscriptstyle u}$ 

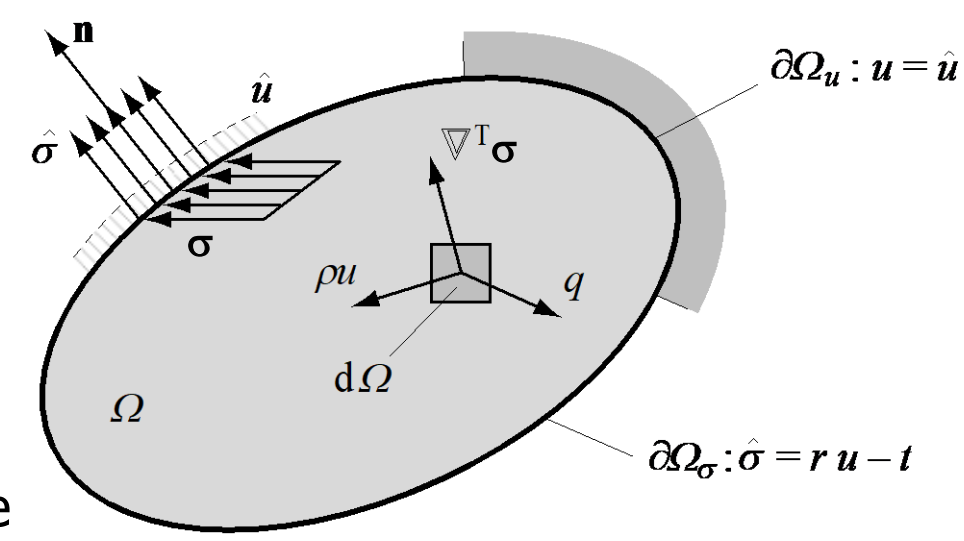


-15-

• Conditions aux limites naturelles sur le bord  $\partial \Omega_{\sigma}$ 



Forme forte



$$u \in C(\Omega): \nabla^{T}(-\kappa \nabla u) + \rho u = q \quad \text{dans } \Omega$$

$$\underline{\Omega} = \Omega \cup \partial \Omega \qquad u = \hat{u} \quad \text{sur } \partial \Omega_{u}$$

$$\mathbf{N}^{T}(-\kappa \nabla u) = -\kappa \nabla u \cdot \mathbf{n} = -\kappa (\partial u/\partial n)$$

$$= ru - t \quad \text{sur } \partial \Omega_{\sigma}$$

#### Forme intégrale du problème

Forme intégrale

$$\int_{\Omega} [\nabla^{T} (-\kappa \nabla u) + \rho u - q] \, \delta u \, dx \, dy = 0 \, \forall \, \delta u$$

$$\delta u \, \text{température virtuelle}$$

- Rappel de quelques formules d'analyse vectorielle pour l'intégration par parties du terme  $\int_{\Omega} \left[ \nabla^{T} \left( -\kappa \nabla u \right) \right] \, \delta u \, \, \mathrm{d}x \, \, \mathrm{d}y$ 
  - Divergence du produit du vecteur  $\kappa \, \nabla u$  par le scalaire  $\delta u$

$$\nabla^{\mathrm{T}} \left[ (-\kappa \nabla u) \, \delta u \right] = \delta u \, \nabla^{\mathrm{T}} \left( -\kappa \nabla u \right) + (-\kappa \nabla u)^{\mathrm{T}} \, \nabla \delta u$$

$$\Rightarrow \delta u \, \nabla^{\mathrm{T}} \left( -\kappa \nabla u \right) = \nabla^{\mathrm{T}} \left[ (-\kappa \nabla u) \, \delta u \right] + (\kappa \nabla u)^{\mathrm{T}} \, \nabla \delta u$$

-18-

#### Forme intégrale du problème

- Rappel de quelques formules d'analyse vectorielle (suite)
  - Théorème de la divergence

$$\int_{\Omega} \nabla^{T} \left[ (-\kappa \nabla u) \, \delta u \right] dx \, dy = \int_{\partial \Omega} \left[ (-\kappa \nabla u) \, \delta u \right] \cdot ds$$
$$= \int_{\partial \Omega} \left[ (-\kappa \nabla u) \, \delta u \right] \cdot \mathbf{n} \, ds$$

• Intégration par parties (théorème de Green — formule de Gauss)

$$\int_{\Omega} \left[ \kappa (\nabla u)^{\mathrm{T}} \nabla \delta u + \rho u \, \delta u \right] \, \mathrm{d}x \, \mathrm{d}y \, - \int_{\partial \Omega} \kappa \mathbf{N}^{\mathrm{T}} \nabla u \, \delta u \, \mathrm{d}s$$

-19-

Théorème de la divergence 
$$-\int_{\Omega} q \, \delta u \, dx \, dy = 0 \quad \forall \, \delta u$$

#### Forme intégrale du problème

Prise en compte des conditions aux limites pasentilelses

#### Formulation faible du problème

Forme faible du transfert-chaleur par conduction

$$u \in U: \int_{\Omega} \left[ \kappa (\nabla u)^{T} \nabla \delta u + \rho u \, \delta u \right] dx \, dy \qquad \begin{array}{c} \text{Conditions} \\ \text{naturelles} \end{array}$$
$$+ \int_{\partial \Omega_{\sigma}} ru \, \delta u \, ds$$
$$= \int_{\Omega} q \, \delta u \, dx \, dy + \int_{\partial \Omega_{\sigma}} t \, \delta u \, ds \quad \forall \, \delta u \in V$$

• Classes des fonctions admissibles U et V

U =  $\{u(x, y) \mid u(x, y) \in H^1(\Omega) : u(s) = \hat{u}(s)\} \forall s \in \partial \Omega_u\}$   $V = \{\delta u(x, y) \mid \delta u(x, y) \in H^1(\Omega) : \delta u(s) = 0, \forall s \in \partial \Omega_u\}$  $H^1(\Omega) = \{u \mid u \in L^2(\Omega) : \partial u/\partial x \in L^2(\Omega) : \partial u/\partial y \in L^2(\Omega)\}$ 

Conditions

-21-